「インジウムを用いたpp - ⁷Be 太陽ニュートリノ実験」

宮城教育大学 福田善之、佐藤哲也 東大宇宙線研 森山茂栄、塩澤真人、小汐由介 竹内康雄、難波俊雄 浜松ホトニクス(株)固体事業部 犬塚智也、井澤利之

1.目的

1996年に開始したスーパーカミオカンデ(SK)は、大気ニュートリノの観測データ から1998年にミューニュートリノ振動の証拠を発見した。その後に行われたK2K実 験では、KEKの1GeVPSで生成した µビームをSKに入射した結果、観測数は期 待値に対して有意に低く、エネルギー分布も歪んでいたことから、2004年6月にミュー ニュートリノ振動を99.99%C.L.で確定した。一方で, SKは8B太陽ニュートリノのフラッ クスおよびエネルギー分布の観測から電子ニュートリノ振動がLMAである可能性を いち早〈示唆し,2001年に発表されたSNOの荷電カレントによる観測結果と総合す ると電子ニュートリノ振動が確立するという画期的成果を得た。又、全ての太陽ニュー トリノ実験の結果を基にニュートリノ振動に対するglobal fitを施すと、LMA領域に ニュートリノ振動解が存在していることがわかり、KamLANDの原子炉ニュートリノ の観測結果もそれを強く支持している。以上のことから、次世代の太陽ニュートリノ 実験の主な目的として,以下の2点が挙げられる。

1)ニュートリノ振動の混合角 12の精密な測定 2)恒星進化論の検証等の太陽物理の総合的研究

電子ニュートリノ振動における混合 角 12の精密測定には,ppサイクル の初期過程で生成されるpp及び7Be ニュートリノフラックスやエネルギー 分布を正確に測定することが重要で ある。これらのニュートリノはエネル ギーが1MeV以下と低いため、技術 的な問題だけでなく自然バックグラウ ンドが大量に存在するため、測定が 困難である。現在尤もらしNLMA解 では、5MeV以下で電子ニュートリノ の存在確率が図1のように増す傾向 があり、その形状が混合角 っに強く 依存しているため、ppと7Beニュート リノのフラックス(とエネルギー分布) を測定出来る実験が求められている。 荷電カレント反応を用いた実験が混 合角 12の測定に有利である。

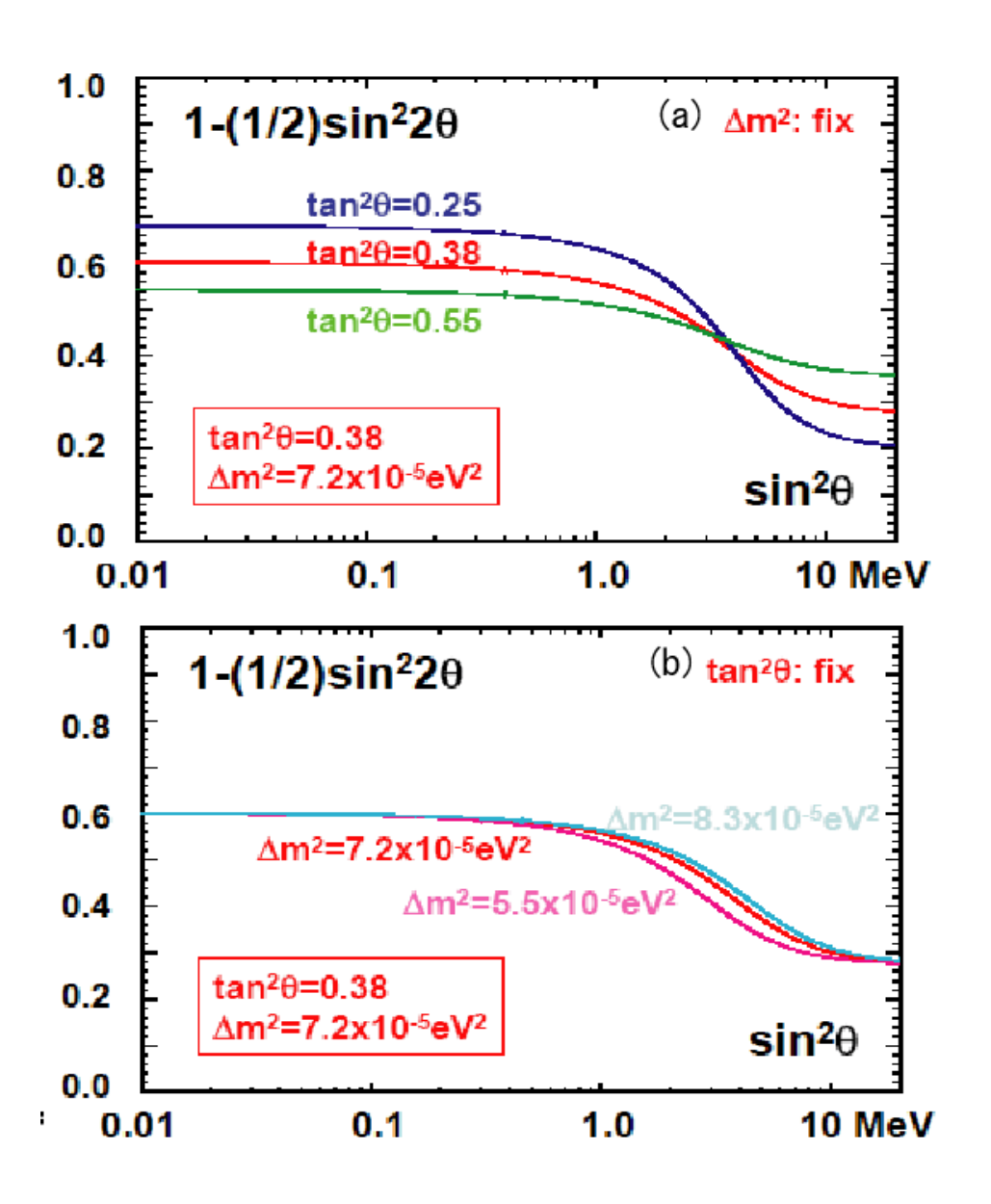


図 1 (a) Δm^2 を固定して $\sin^2\theta$ を変化させた場合、(b) $\sin^2\theta$ を固定して Δm^2 を変化させた場合の、電子ニュートリノの残存確率Pveのエネルギー依存性 (Y. Suzuki@Neutrino2004)

2.インジウムを用いた太陽ニュートリノ実験の原理

1976年、R.Raghavanは¹¹⁵Inが低エネルギー太陽ニュートリノを捕獲する反応断面積が大きいと提唱し、4tonのインジウムで1年あたりpp- が377事象、⁷Be- が102事象である。
¹¹⁵Inによる電子ニュートリノ捕獲反応は

$$^{115}In + _{e}$$
 $^{115}Sn^* + _{e}$ $^{-}$ $(E_e = E - 128keV)$

捕獲後のSn*は励起状態で,半減期 4.76 µ sで基底状態に遷移する。

115
Sn* 115 Sn + $_{1}$ (116KeV) + $_{2}$ (497keV)

崩壊に伴い2本の 線を放出するが、 1は50%の確率で内部転換を起こす。

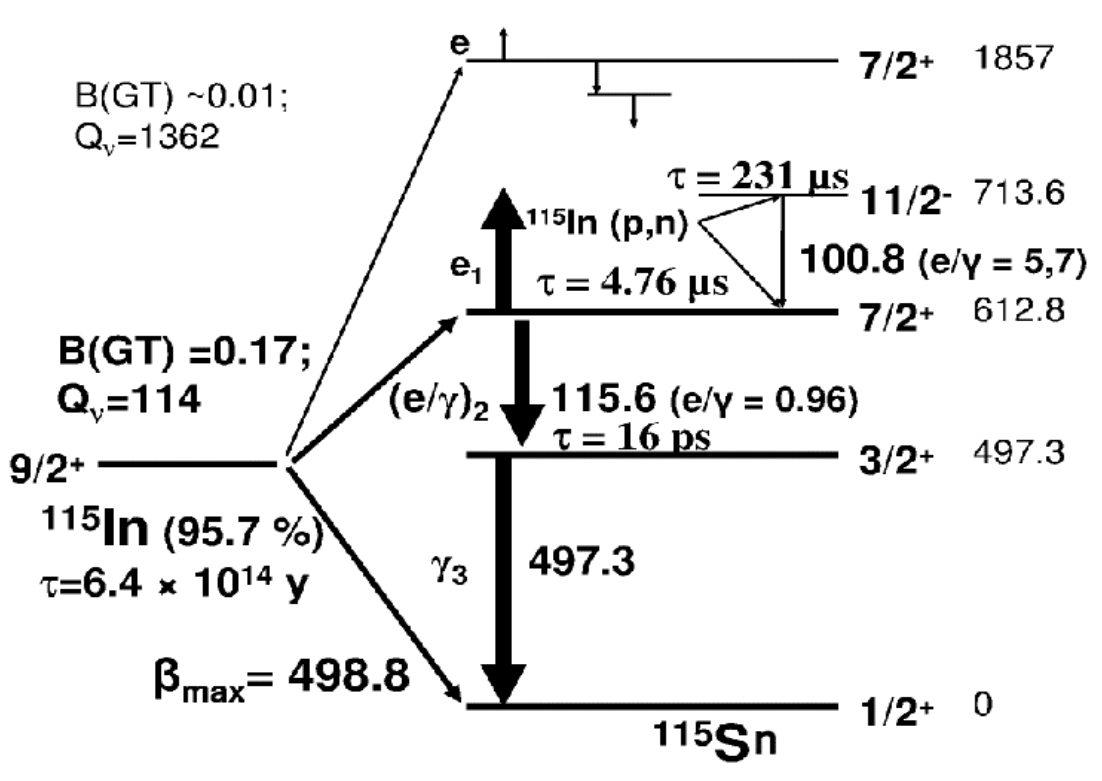


図2: ¹¹⁵ Inの崩壊式

電子ニュートリノ、つまり低エネルギーのpp/ 7 Be太陽ニュートリノを捕獲する反応で、Q値は128keVである。励起状態の 115 Snは、半減期4.76 μ sで基底状態に崩壊し、2本の 7 線を放射する。また、 115 Inはそれ自身で、6.4×10 14 yearという半減期で 115 Snの基底状態へと 6 崩壊する。4tの 115 Inでは、719kHzになる。

図3は、4tonのインジウムによりpp太 陽ニュートリノを5年間測定した場合の ニュートリノ振動の混合角 42の判別 感度の図である。期待されるイベント 数は1885イベントである。 ニュートリノ 振動を仮定し、検出器のエネルギー閾 値を100keVとすると、約720イベントと なる。統計誤差とSSMの理論誤差を 考慮した全体の誤差は3.9%である。 インジウムの反応が荷電カレントのみ の反応なので、赤線の感度となり、 XMASS実験に近い感度になることが わかる。

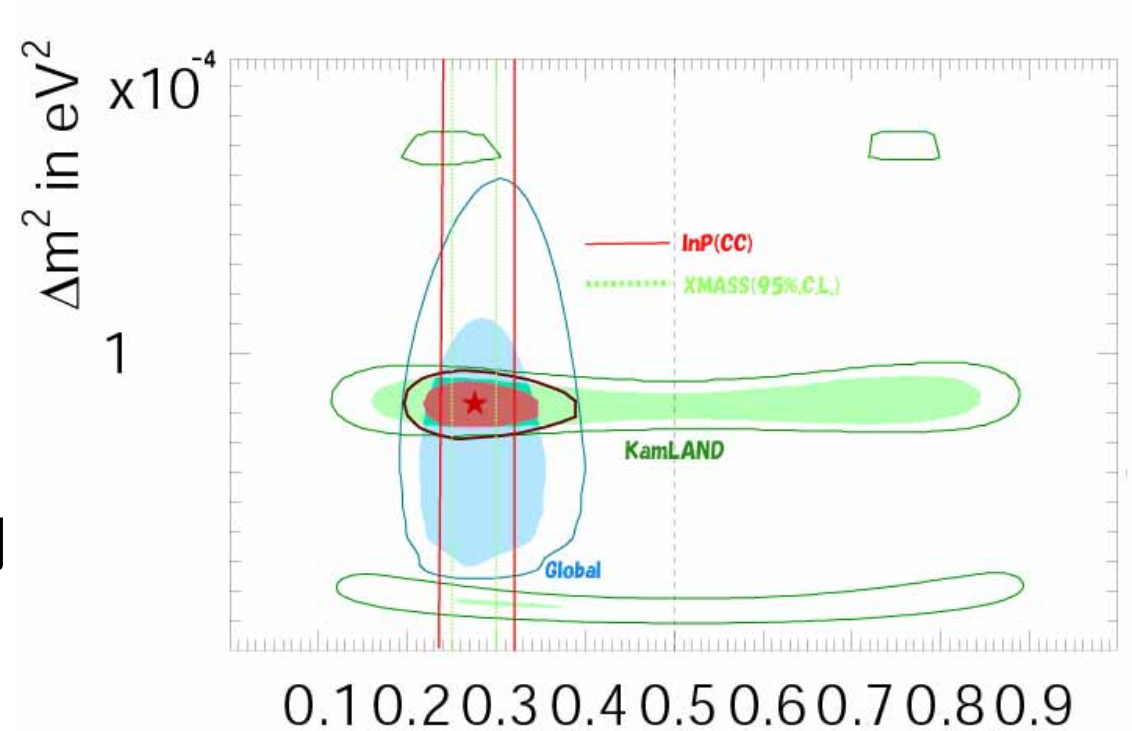
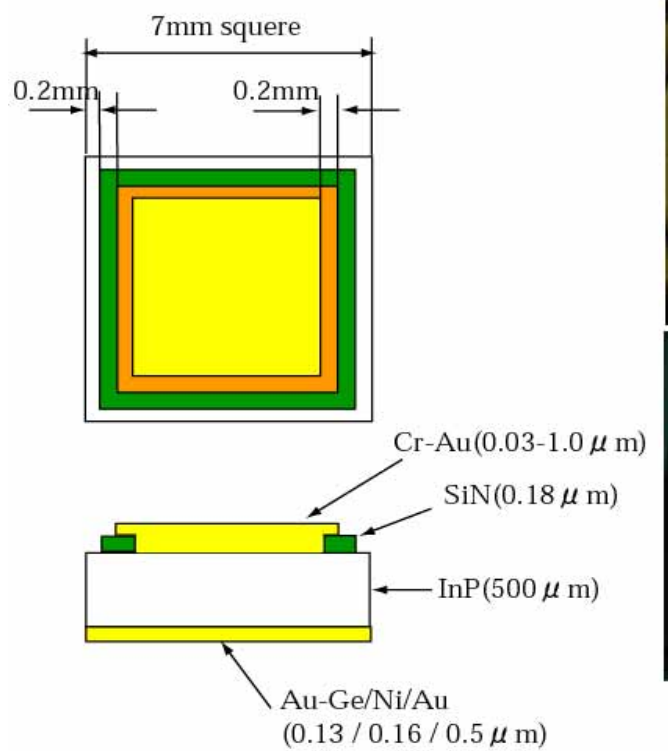


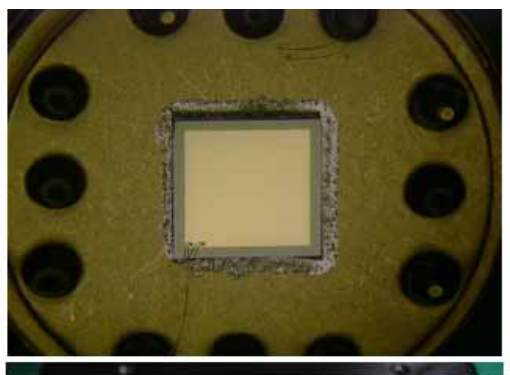
図: InP太陽ニュートリノ実験を5年間測定した場合のニュートリノ振動の混合角Θの判別感度の図。global fitで求めた95%C.L.の許容解とKamLANDの結果による許容解も示している。赤線はpp/ Beニュートリノを独立測定できた場合。緑線はXMASS実験の場合である。

 $sin^2(\Theta)$

3. プロトタイプ SI InP放射線検出器

使用したFeドープの半絶縁性InPウエハーは、米国AXT社のVGF法(Vertical Gradient Freeze)結晶成長によるもので、直径2インチ、厚さ500±25mmの基板である。プロトタイプSIInP放射線検出器は、浜松ホトニクス(株)固体事業部の協力で製作された。現在のプロトタイプ検出器の描写図と実際の表面の写真を図4に示す。電極はオーミック接合により、接触している。





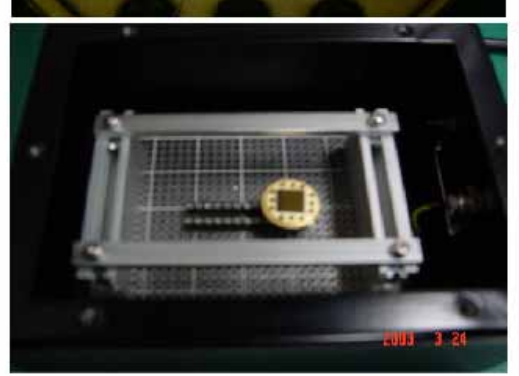


図4:プロトタイプ検出器

左図:プロトタイプ検出器 の描写図(旧電極) 上部の電極のサイズは 6mm x 6mmです。電極と InPの接合部はオーミック 接触によって作られています。

右図:上がプロトタイプ検出器 を上から見た写真 下がプロトタイプ検出器を テストベンチに据え付けた写真

検出器は全体で5種類存在する。それぞれを表のように区分する。

検出器番号	電極	電極面 積	InP厚さ
No.1 - 6	旧タイプ	3mm × 3	500μm
		mm	500μm
No 7 - 12	旧タイプ	6mm × 6	500µm
		mm	500μm
No.13 -	新タイプ	6mm × 6	200μm
16		mm	
No.17 -	新タイプ	3mm × 3	
18		mm	
No.19 -	新タイプ	6mm × 6	
20		mm	

(旧タイプの電極 Cr - Au、Au - Ge/Ni/Au 新タイプの電極 Au - Zn/Au、Ti - Au

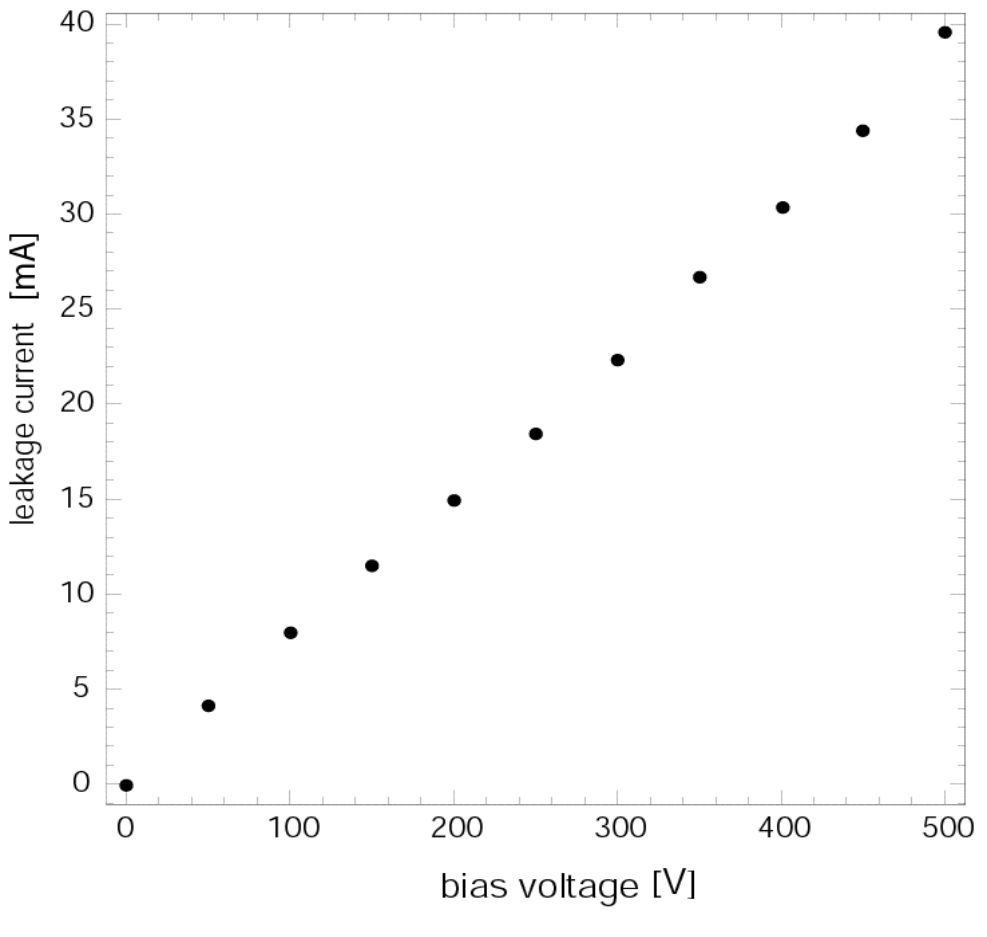


図5:暗電流のバイアス依存性

図6は、神岡宇宙素粒子研究施設に敷設した超低バックグラウンドGe 検出器によって測定したInP結晶に含まれるU/Th系列による 線のエネルギースペクトルである。

InP結晶の量は4.7gであり、115In 3.7gに相当する。すでに知られているピーク値を用いて計算すると、InP 結晶に含まれるU/Th系列は、それぞれ5×10-11g/g、3×10-11g/g以下になる。これは、その素材自身がとてもクリーンであり、そして放射線源により発生するバックグラウンドがごくわずかであることを示す。

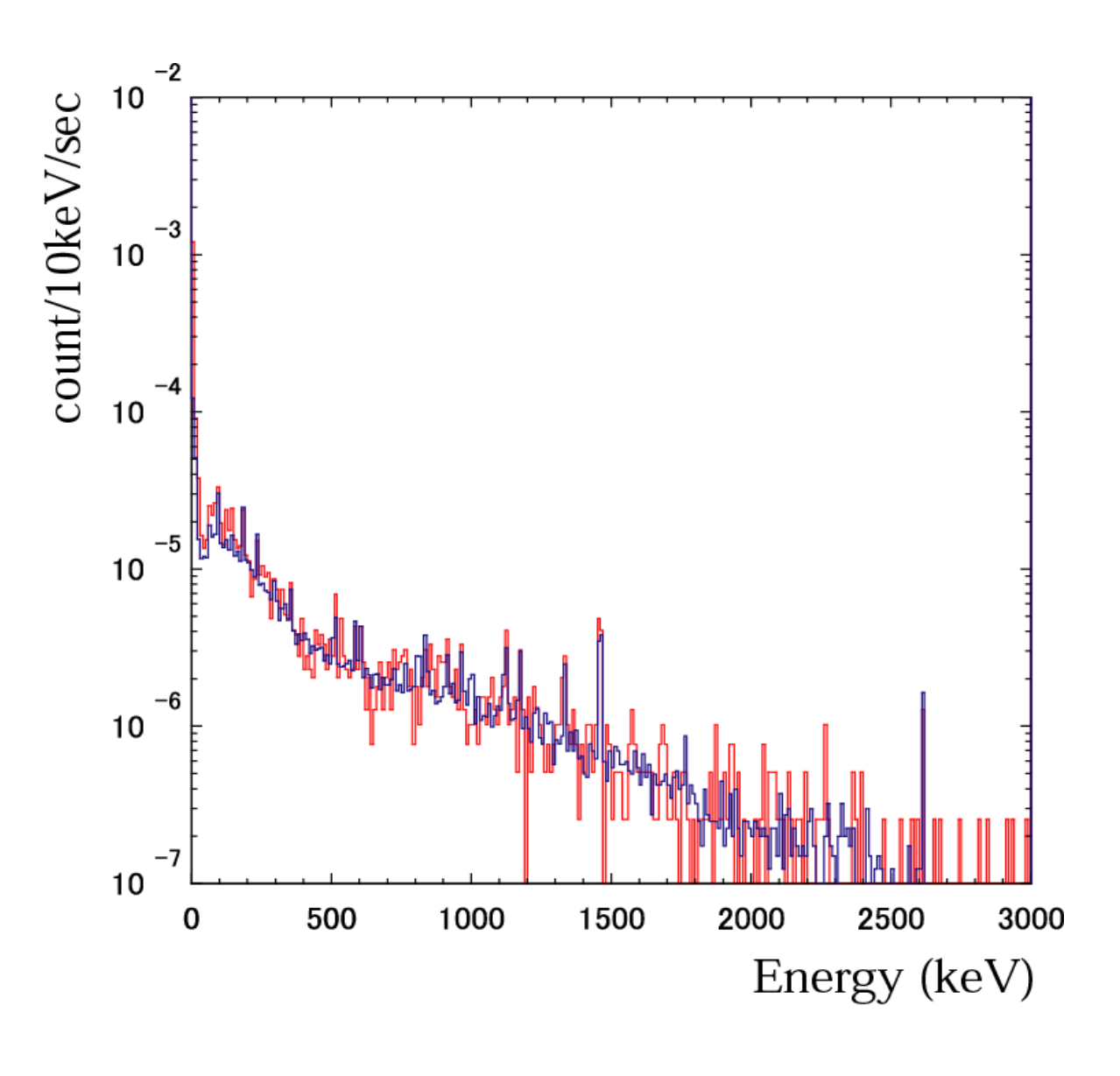
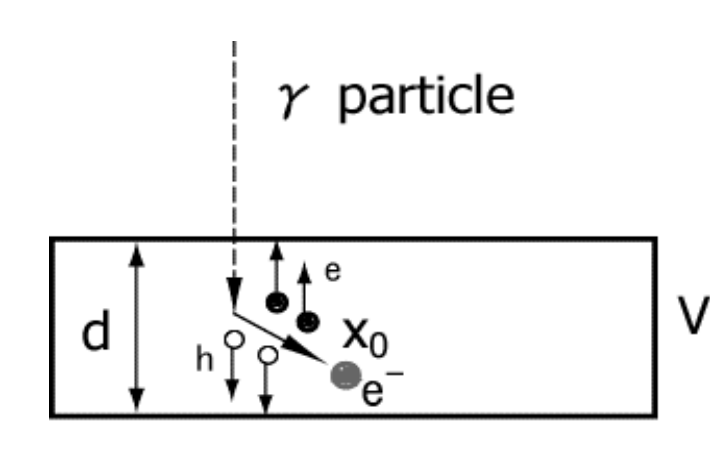


図6:超低バックグラウンドGe検出器によって測定された InP結晶に含まれているU/Th系列から出てくる γ線 のエネルギースペクトルの図。青線及び赤線はそれ ぞれ結晶有り及び無しの場合

4. 放射線による反応

線による放射線応答性を測定した。 反応した電子がエネルギー損失し、電子・ホール対を生成する。 電子・ホールの電荷は、図7の拡散長に従い収集される。 拡散長は、キャリアーの移動度と寿命と電場に比例する。



 μ : mobility [m²v⁻¹s⁻¹]

v : carrier velocity [ms⁻¹]

E: electric field [vm⁻¹]

V₀[volts] d: thickness of SI InP

 x_0 : range of electron

$$E=V_0/d$$
 $v=\mu E=\mu V_0/d$

diffused length $L_d=\tau v=\mu\tau V_0/d$ τ : carrier lifetime [s] averaged energy of e/h creatrion: ϵ charge $Q_{total}[C]=(electron\ energy)/\epsilon^*e$ $Ld \neq \infty$ $Q_{obs}[C]=\int_0^R (dE/dx)/\epsilon$ * $e^{-r(x)/Ld}\ dx$

図7:電荷収集の原理

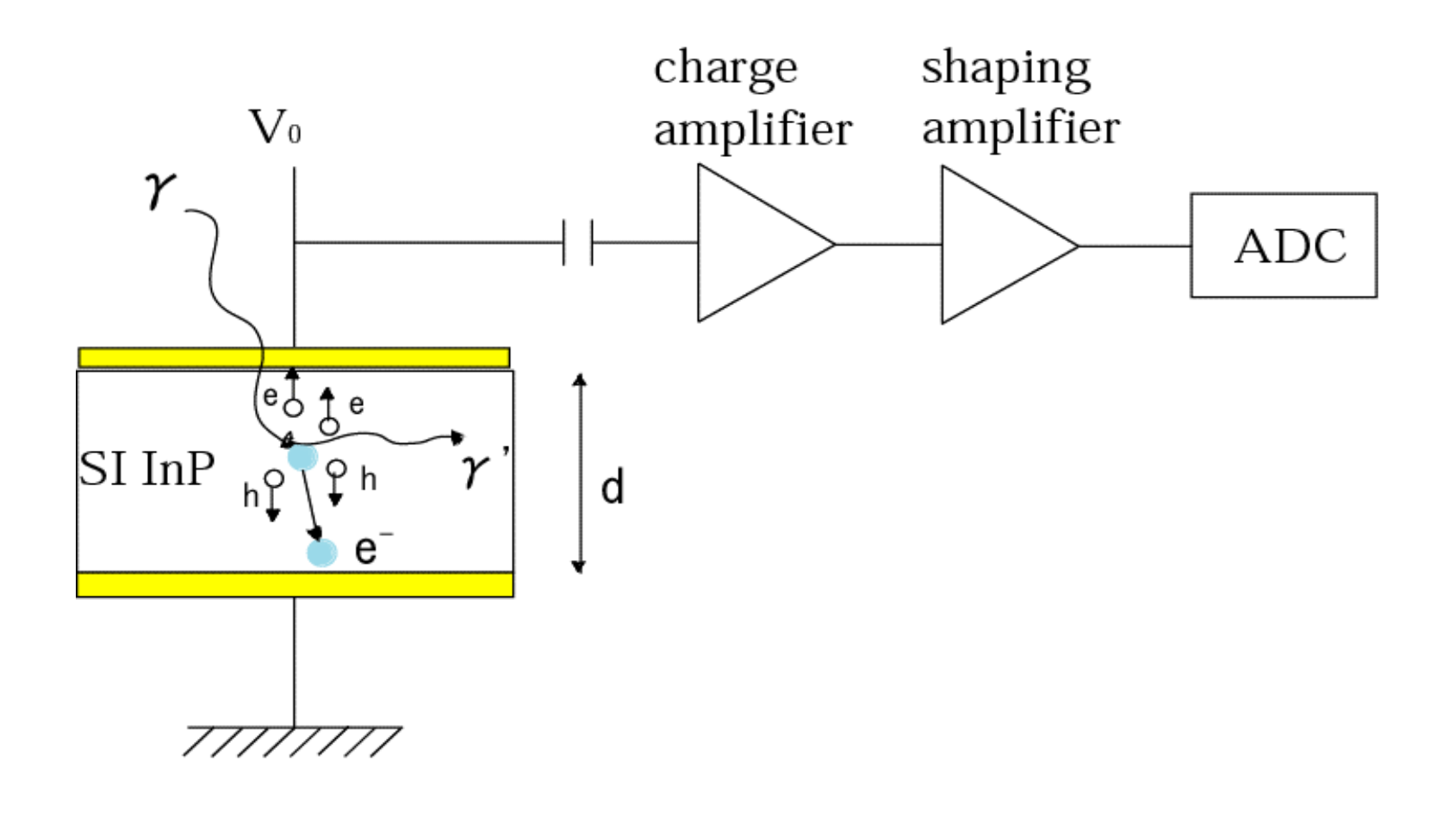
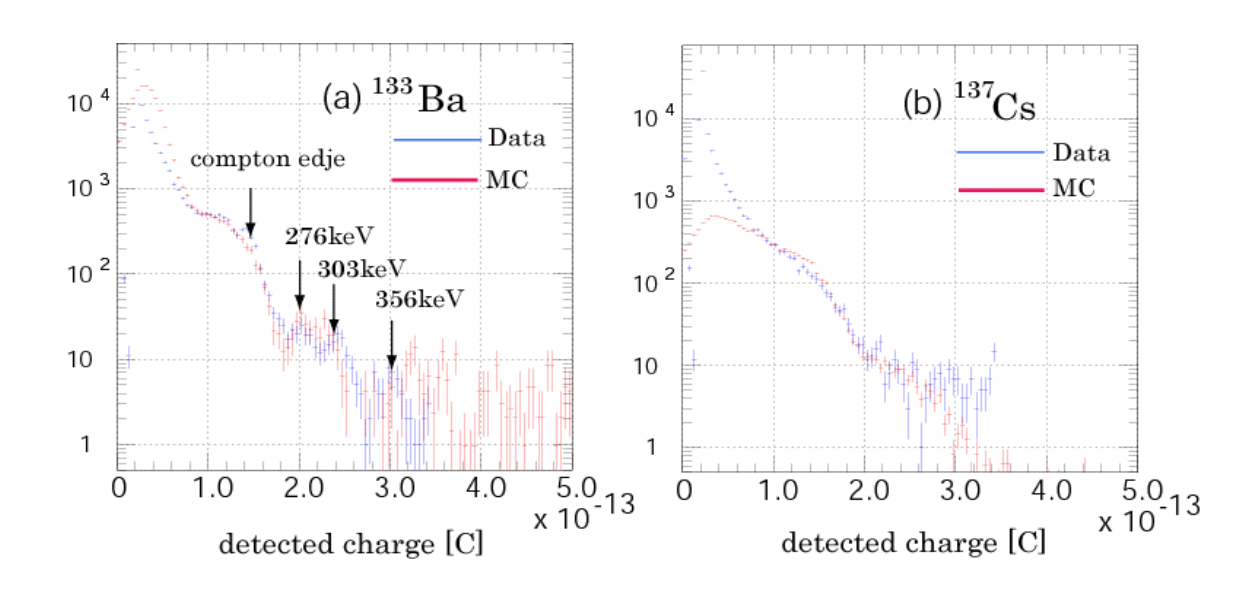


図8:SI InPプロトタイプ検出器のセットアップ配置

高電圧は上部の電極で正極に印加される。電極ではオーミック 接合されている。 使用した 線源は¹³³Ba、⁵⁷Co、 ¹³⁷Csの3種類である。図9に No.7で観測された 線のエネル ギー分布を示す。

133Baの356keV(62%)の 線の コンプトン端および光電ピーク、 および276keV(7%)、 302keV(18%)の 線の光電ピークが観測されている。ここで、図9 の点線は電子・ホール対生成エネルギーを0.3eV、キャリアーの 拡散長を600μm)の シミュレーションである。

InPのバンドギャップから計算される電子・ホール対生成エネルギー4.2eVの約1/10であり、Geに匹敵する大量の電荷を生成していることを世界で初めて確認した。



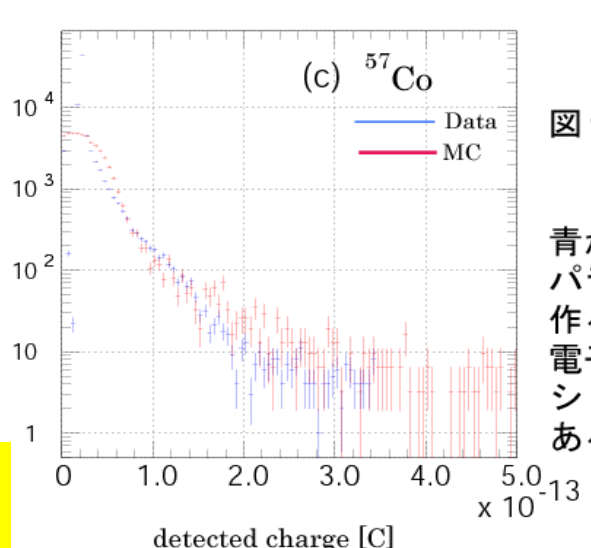


図9: No. 7 InPの検出器の γ線測定結果

青がデータで、赤線がベストフィットパラメーター(電子・ホールのペアを作るために必要なエネルギーが0.3eV、電子の拡散長を 600μ m)でシミュレーションを行い、得られたスペクトルである。

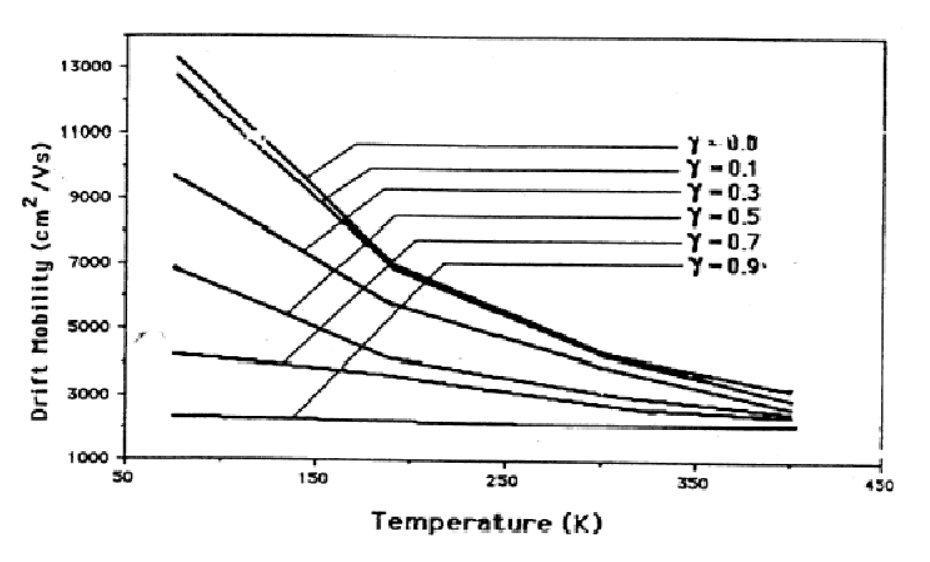
今後の課題及び予定

(ア)検出器の個体差が大きいため、 電極蒸着の方法を確立しなければな らない ショットキー蒸着を行う

(イ)大量の電荷を生成しているにも 拘わらず、拡散長が短いため100keV 付近の 線が見えない、分解能も悪 い 検出器を冷却

- (A) 拡散長を拡大する
- (B) 熱雑音を低下する

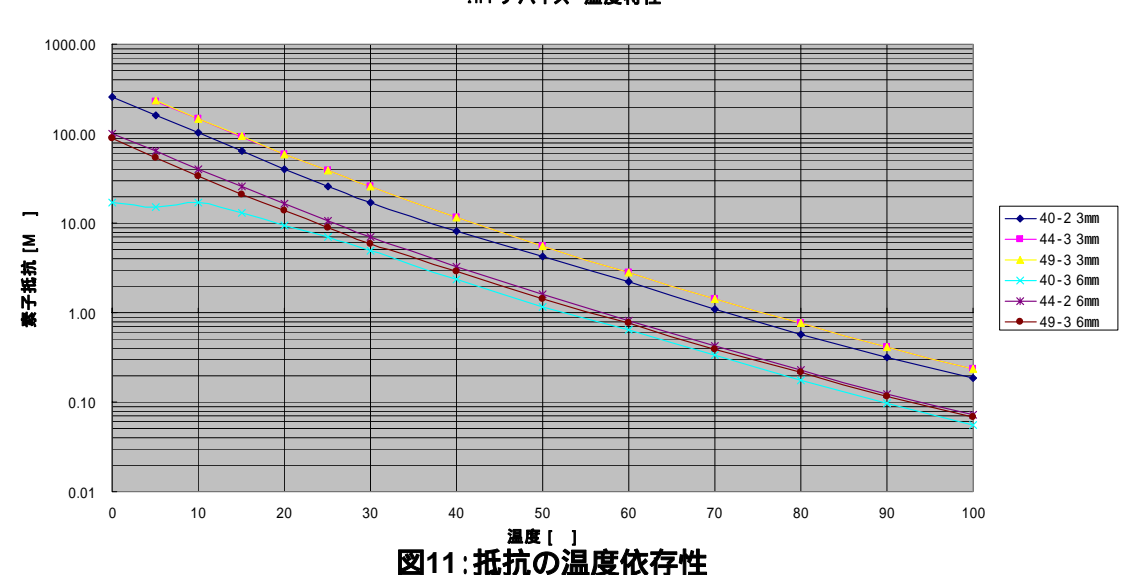
Extrapolated Low-Field Electron Drift Mobility for InP

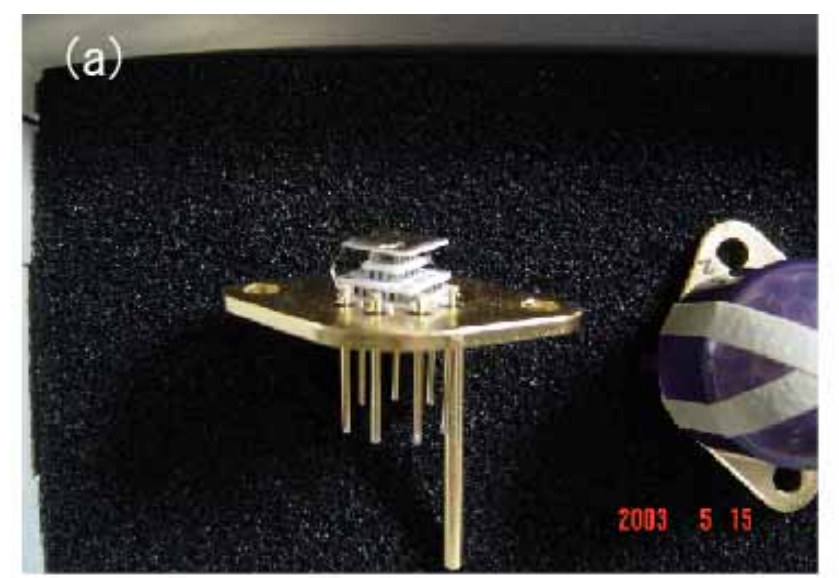


Ref: J. Costa and A. Peczalski, J. Appl. Phys. 66(2), (1989) p674-679

図10:移動度の温度依存性

In Pデバイス 温度特性





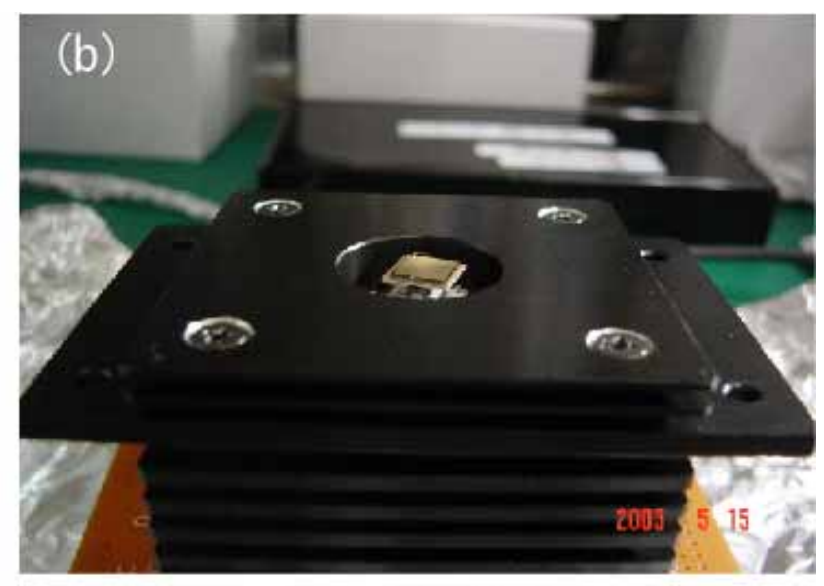






図12:(a)ペルチェにマウントした新プロトタイプInP SI検出器

- (b) 放熱板にマウントした検出器
- (c) 真空チェンバーに入れた検出器
- (d) 真空ポンプに接続した冷却システム全体

5.太陽ニュートリノInP実験

10cm×10cm×0.05cmのbulkサイズ SI InP検出器を仮定する。 検出器の重さ 24g(=4.79g/cm3) インジウム19gに相当 (¹¹⁵Inの自然存在比 約96%)

115 Inを4トン使用すると仮定すると、
220,000チャンネルのモジュールが必要となる。このモジュールは、
10mm×10mm×500μmの検出器
100個を111mm×111mmの大きさの基板上に配置し、バイアス電圧を並列印し、信号は一つにまとめて取り出す多素子型構造を考える。このモジュール25個を5列×5列で基板上に配置したものを一層と考え、その層を10層重ねたものをスーパーモジュールと呼ぶ。

InP SI detector module

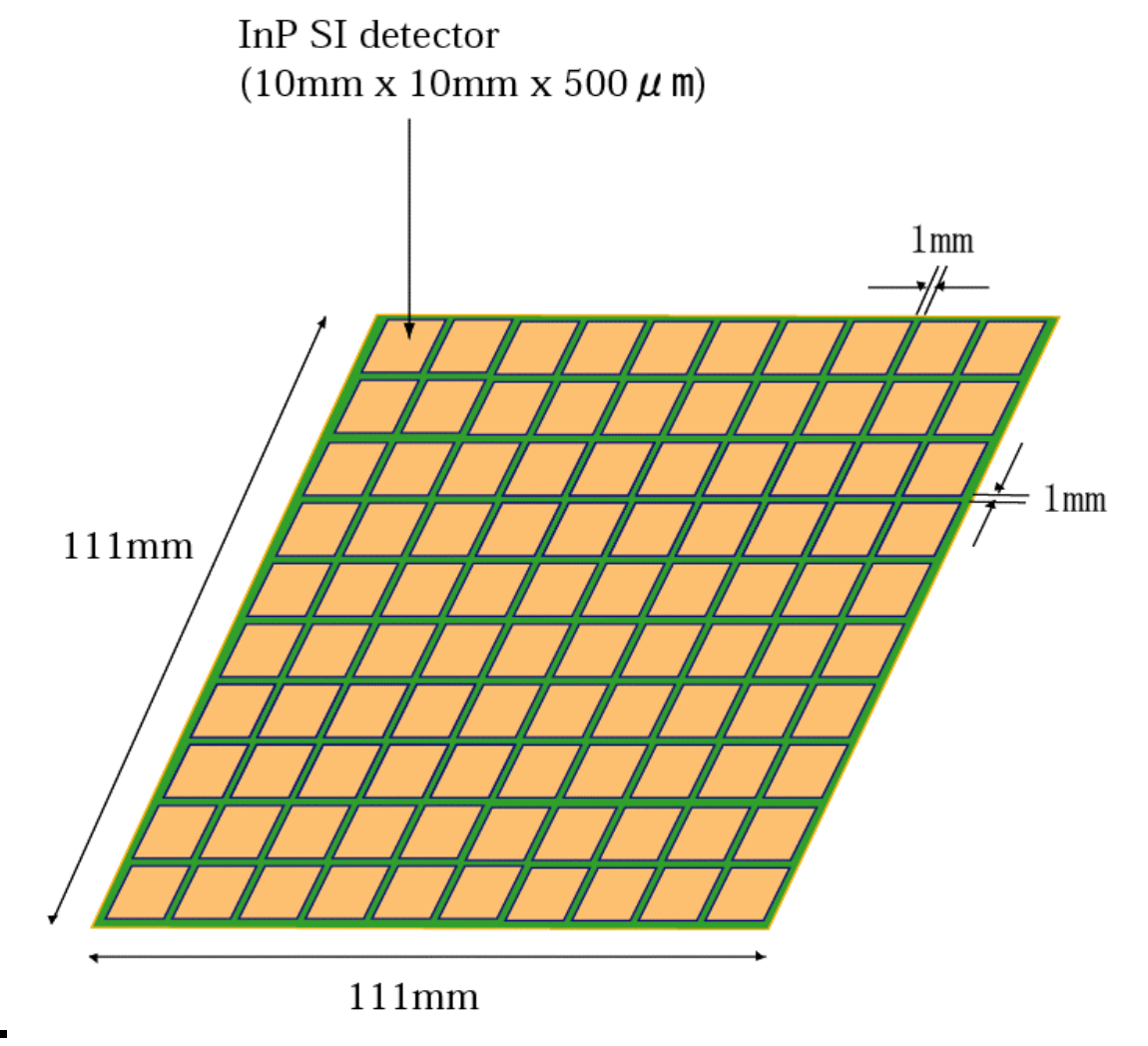


図13:モジュール検出器

InP SI検出器モジュールを拡大した図で、10列×10列 計100個のInP SI検出器からなっています。

スーパーモジュールは、上下に互い違いにNalシンチレータを設置し、同時計測により突き抜けミューオンを選別するトリガー回路を構築できるという特徴がある。

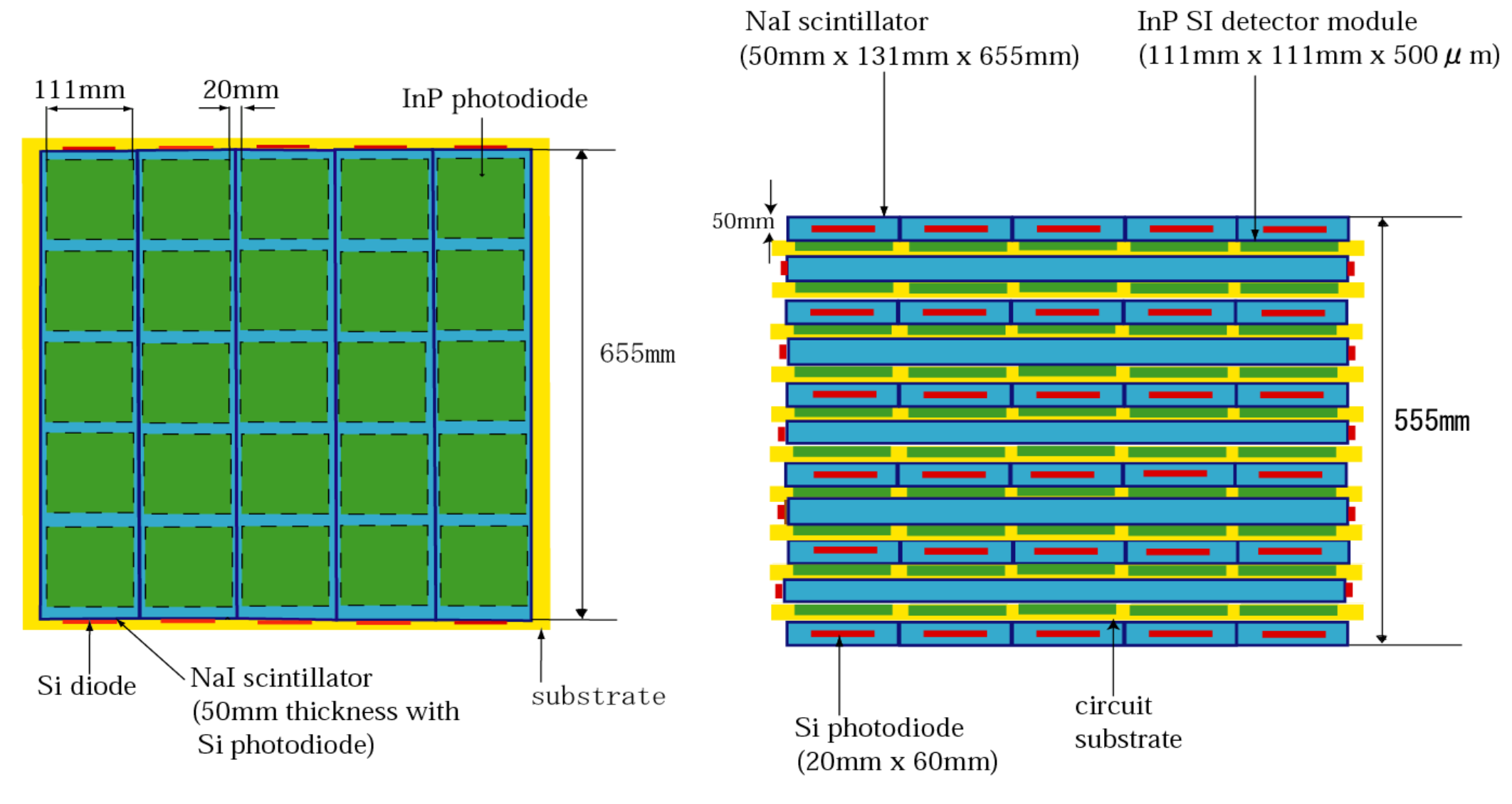


図14:スーパーモジュールの上面図

この上から見た1層を10層重ねたものが1個のスーパー モジュールです。1層は5列×5列 計25個のモジュールから なっています。

図15:スーパーモジュールの側面図

これはスーパーモジュールを横から見た図です。 Nalシンチレーターを1段に5個ずつ置き、互い違いに並べています。

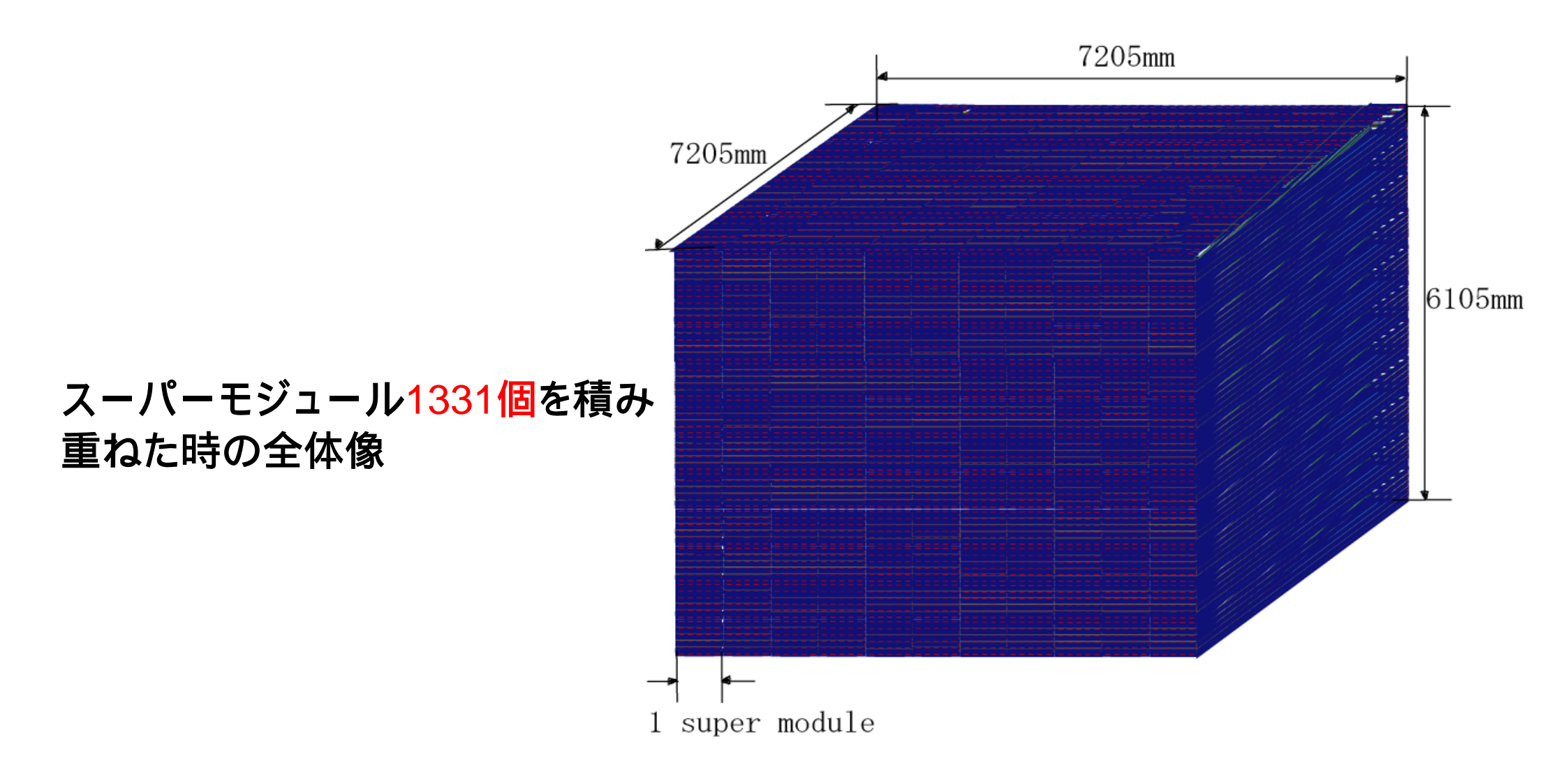
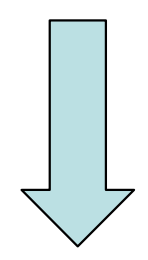


図16:11 x 11 x 11個 計1331個のスーパーモジュールを 積み重ねた時の全体図

図17は、1スーパーモジュールの中心でppニュートリノ観測をした場合のシミュレーションである。ここで検出器は100keVで10%のエネルギー分解能であると仮定した。中心に位置するモジュール検出器は、捕獲反応からの放出電子と、115Sn*からの「の一部と」のコンプトン電子を観測しており、周りのNalシンチレータは、残りの「と」の残りを観測している。但し、「の内部転換電子は考慮していない。



ppニュートリノ検出効率は、 約80%と予想される。

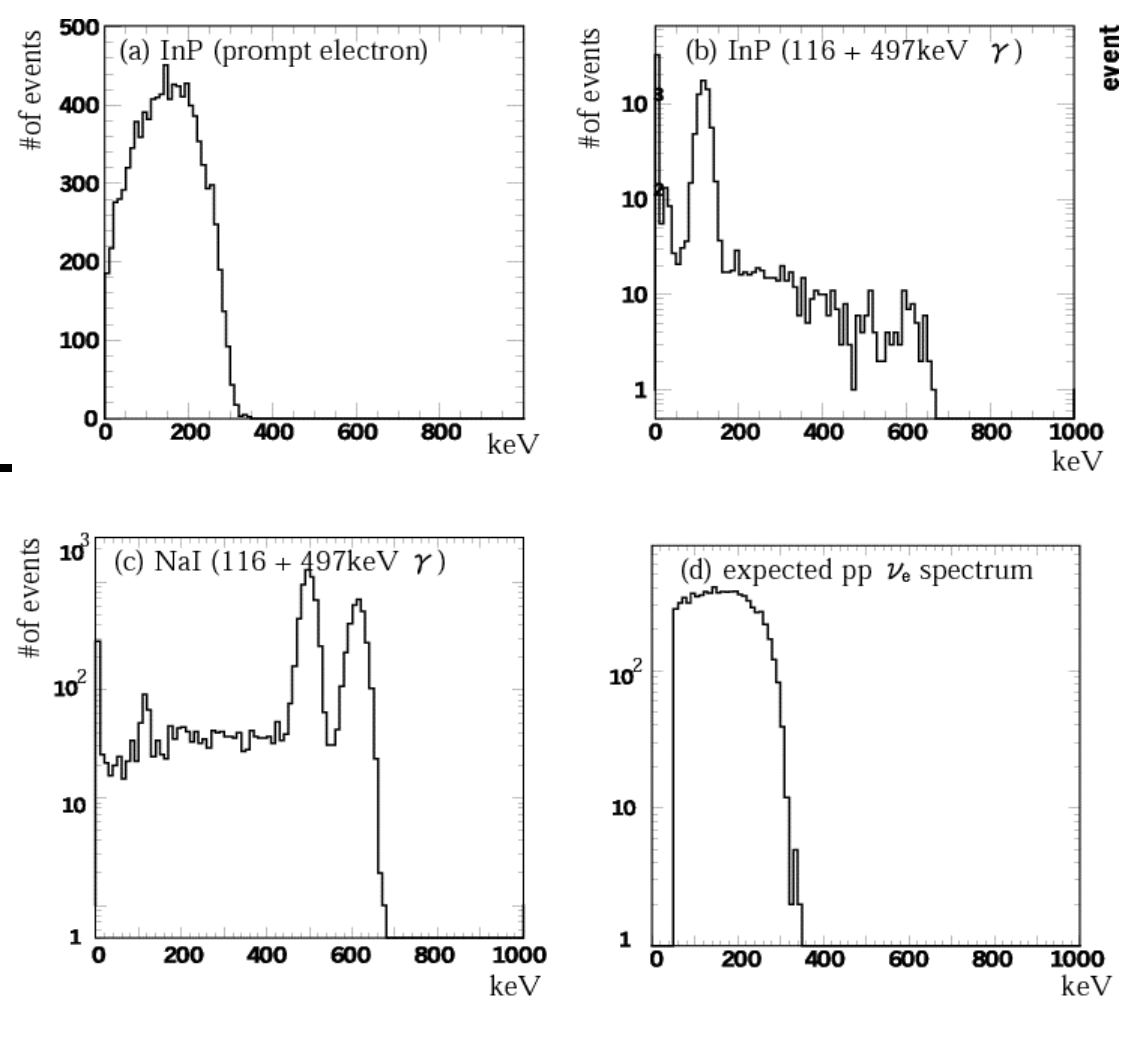


図17:1個のスーパーモジュールによるppニュートリノ測定で 1万個のシュミレーションを行って得られたスペクトル

- (a) InP検出器モジュールで検出した電子のエネルギー
- (b) 同じくInP検出器で測定した r₁、r₂のエネルギー
- (c) 周囲のNalシミュレーターで検出した γ_1 、 γ_2 の エネルギー
- (d) 期待されるpp ν -128keVのエネルギー分布

6.その他の物理

InP太陽ニュートリノ実験の測定器では、692tonのNaIシンチレータを使用するハイブリッド型であるため、そのシンチレータを利用した観測も行うことができる。

暗黒物質の探索

この測定器のNalシンチレータは、CDMSやDAMAで現在行われている暗黒物質探査の実験で用いられているNalシンチレータよりも10倍ほど大きく、より多くのイベント数を期待することができる。

超新星爆発に伴うニュートリノバーストの観測過去の超新星爆発に由来するニュートリノの観測

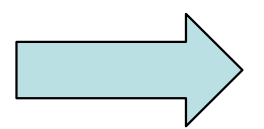
7.実験のコスト評価

•InP SIモジュール全体: 約20億円

•低バックグラウンドNal:約40億円

◆エレクトロニクス:約30億円

•掘削費用:?円



実験装置製作費用: 約90億円